

RN-832



RN. 841.- Detalle de la alternancia de pizarras azules y lechos de cuarcita en la serie (O<sub>1</sub>gq)

RN. 832.- Detalle de un afloramiento de pizarras azules de Luarca<sup>2</sup>, explotadas esporádicamente en el ámbito rural, para su utilización en techados.

RN-841



RN-842



RN-851



RN 852.- Pliegues de arrastre con cabeceo de los ejes ( $20^{\circ}$ - $22^{\circ}$ ) en cuarcitas de la serie ordovícica (O1 $\alpha$  $q$ ). Zona de Edreira (x: 291.000, y 848.000).

RN 860.- Deformación de la esquistosidad de fase 1, coincidente con estratificación. Serie ordovícica de alternancias (O1 $\beta$  $q$ )

RN 853 y RN 854.- Diferentes aspectos de pliegues de arrastre en la serie (O1 $\alpha$  $q$ )



RN-852

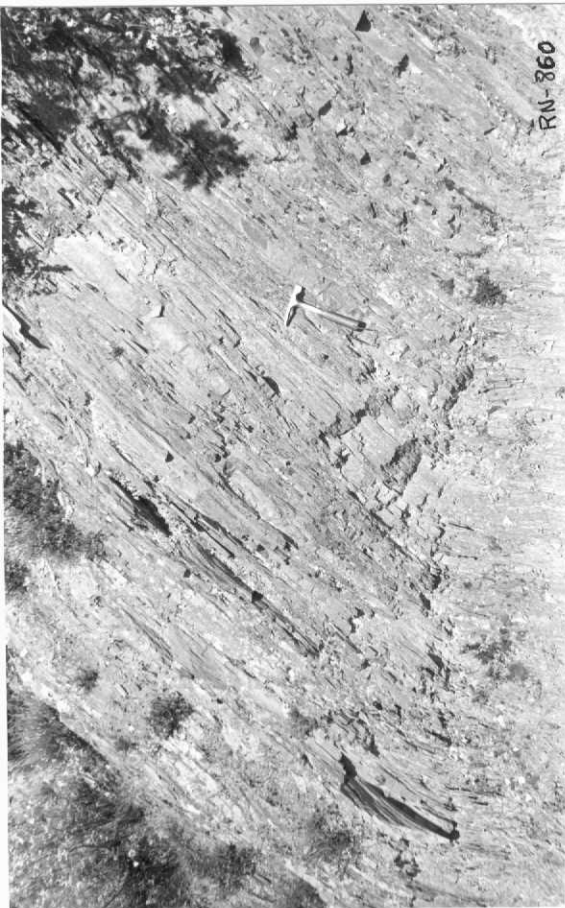
RN-853





RN-854

RN-860



RN 861.-

RN 851.-

RN 842.-

Plegue anticlinal de gran desarrollo, típico en la serie ordovícica del S de la Hoja. La vergencia es NW.

Sucesión de pliegues sinclinal y anticlinal en la serie ordovícica (Oligo). Zona de Edreira (x: 291.000, y: 848.000).

Piegues cilíndricos de segundo fase. Vertiente NW de S. Mamed.



RN - 861